

(89) 高炉の操業方法によるSi移行機構の差異
(炉内Si移行の数学モデルによる解析 第2報)

川崎製鉄株式会社技術研究所 ○田口整司 植谷暢男

1. 緒言 製鋼用銑を吹製する高炉について、Si移行の機構がスラグ-メタル反応を無視した前報の数学モデルでよく説明できることがわかった。その際に、Si移行の源となるSiOガスの発生については流下スラグからの寄与がわずかとなることを示した。一方、高燃料比で低い羽口先理論燃焼温度(T.F.T.)の実験操業において、羽口先で発生するSiOガス濃度が低下することが推定され、逆に铸物銑操業においては流下スラグからのSiOガス発生の寄与が大きくなることが予想される。本報ではこれらのSi移行機構がモデル的にどのように与えられるかをシミュレートした。

2. 計算方法 モデルの構成は前報と同一であるが、铸物銑と製鋼用銑の操業実績をパラメータ不変の条件でシミュレートするために、以下のパラメータ値の検討を行なった。1) 流下スラグからのSiO発生反応の速度定数¹⁾ k_s および反応熱の粒子収得率 α_s 、2) 上記反応における反応温度としてスラグ温度 T_{sl} 、コークス温度 T_s および接触界面温度 T_w を用いた場合の比較、3) 気一固間および固一液間の伝熱係数 $h_{g,s}$, $h_{s,i}$ 。検討結果、 k_s として $5.36 \times 10^{19} \exp(177.000/RT)$ を用いた。これは実験室的に求めた羽口前コークスとスラグの接触によるSiO発生反応速度定数³⁾のおよそ4倍の値である。また $\alpha_s \geq 0.9$ 、反応温度を T_s 、 $h_{g,s}$ は滴下帶で Ranz らの式の0.05倍として、以下パラメータを固定して計算した。

3. 計算結果 千葉第2高炉で製鋼用銑、铸物銑を吹製した場合の実績をTable 1に示す。計算結果より、溶銑温度H.M.T. と溶銑中Si濃度との関係をFig. 1に示した。铸物銑のH.M.T. は若干高目であるが、Si濃度の温度依存性は実績の $0.4(4\% \text{ Si})/10(\text{C})$ とよく一致し、Si移行量はSiOガスの発生に律速されている。一方、製鋼用銑ではSi濃度の温度依存性は実績の $0.04(4\% \text{ Si})/10(\text{C})$ より大きく、前報の計算結果の方がよく合致する。これはSi移行量の律速段階は前報と同様にSiOガスからメタルへのSi吸収律速ではあるが、スラグからのSiO発生量が過大なためである。Table 2中のケースA, B, Cはそれぞれ铸物銑、製鋼用銑および羽口先燃焼ガス温度を下げて低Si溶銑を吹く場合の代表的な計算例である。

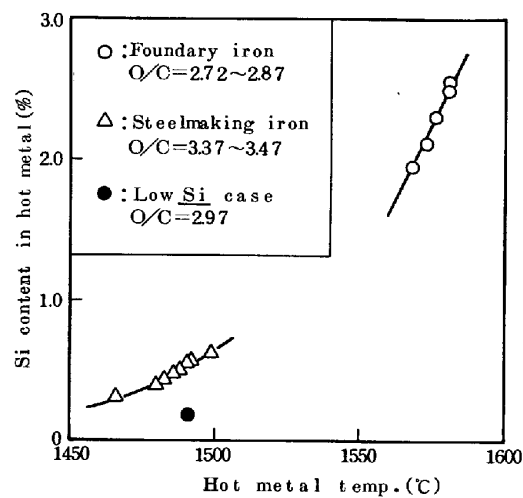


Fig. 1 Relationship between Si content in hot metal and temperature by calculation

Table 1 Operational results of Chiba No. 2 BF

	Blast vol. (Nm ³ /min)	Temp (°C)	Moist (g/Nm ³)	O/C (—)	H.M.T. (°C)	Si (%)	Slag rate (kg/t)
Steelmaking iron	1719	1087	1.36	3.37	1493	0.47	295
Foundry iron	1900	980	30.1	2.87	1557	2.43	309

Table 2 Results by calculation

- 文献 1) 鉄と鋼, 67 ('81), S728,
2) ibid, S727
3) 角戸; 私信

Case	O/C (—)	H. M. T. (°C)	Si (%)	Height of melting zone (m)	{SiO} at tuyere (kg-Si/m ³ ·h), (%)	{SiO} from slag (kg-Si/m ³ ·h), (%)
A	2.77	1576	2.30	6.6	83.6(20)	33.5(80)
B	3.42	1488	0.50	1.9	9.08(31)	2.06(69)
C	2.97	1491	0.18	3.3	0.36(5)	6.4(95)